

## NGHIÊN CỨU CHẾ TẠO ĐIỆN CỰC PbO<sub>2</sub>/Ti VÀ TÍNH CHẤT ĐIỆN HÓA CỦA CHÚNG TRONG MÔI TRƯỜNG CHẤT ĐIỆN LY

Đến Tòa soạn 7-11-2006

TRỊNH XUÂN SÉN<sup>1</sup>, TRƯỜNG THỊ HẠNH<sup>1</sup>, NGUYỄN THỊ BÍCH LỘC<sup>1</sup>, TRẦN QUỐC TUỲ<sup>2</sup>

<sup>1</sup>Khoa Hóa học, Trường ĐHKHTN - ĐHQGHN

<sup>2</sup>Trung tâm Khoa học Kỹ thuật và Công nghệ Quân sự, BQP

### SUMMARY

Using electrolytic method of the mixed solution of salts Pb(NO<sub>3</sub>)<sub>2</sub>, Al(NO<sub>3</sub>)<sub>3</sub> and Cu(NO<sub>3</sub>)<sub>2</sub>, electrodes of PbO<sub>2</sub>/Ti were made. By measuring the anodic polarization curves of these electrodes in Na<sub>2</sub>SO<sub>4</sub> solutions showed that the stability of the anodic polarization of PbO<sub>2</sub>/Ti electrode increased by the presence of α-PbO<sub>2</sub> thin films. The thickness of β-PbO<sub>2</sub> on the α-PbO<sub>2</sub>/Ti substrate effects on the durability and electronic exchange ability of PbO<sub>2</sub>/Ti. On the other hands, the durability of the coating film β-PbO<sub>2</sub>, α-PbO<sub>2</sub>, SnO<sub>2</sub>/Ti in NaCl, Na<sub>2</sub>SO<sub>4</sub> and Na<sub>3</sub>PO<sub>4</sub> solutions is higher than others.

### I - ĐẶT VẤN ĐỀ

Một trong những hướng nghiên cứu của ngành điện hóa hiện nay là chế tạo các điện cực dạng màng mỏng oxit kim loại trên nền vật liệu trơ, đặc biệt là nền titan kim loại [1, 2]. Màng mỏng oxit PbO<sub>2</sub> có nhiều ưu điểm là khả năng dẫn điện cao, bền trong các môi trường, tính oxi hóa mạnh, chịu mật độ dòng lớn, quá thế tách oxi lớn, rẻ và công nghệ chế tạo đơn giản. Điện cực PbO<sub>2</sub> được sử dụng trong công nghệ điện phân điều chế các hợp chất vô cơ và hữu cơ, làm điện cực oxi hóa điện hóa các hợp chất. Vì vậy, việc nghiên cứu chế tạo các điện cực PbO<sub>2</sub> đang được các nhà khoa học quan tâm chú ý.

Nhằm góp phần vào lĩnh vực đó, bài báo này nghiên cứu chế tạo điện cực PbO<sub>2</sub> có mặt các oxit khác nhằm làm tăng độ bền và tính chất điện hóa của điện cực.

### II - THÍ NGHIỆM

Sử dụng thiết bị Potentiogranvanostat PGS-

HH8 ghép nối máy tính xử lý số liệu đo các đường cong động học điện hóa của hệ điện cực PbO<sub>2</sub> trong dung dịch chất điện li khảo sát. Hệ điện hóa gồm ba điện cực: điện cực so sánh-điện cực calomen bão hòa, điện cực phụ- điện cực platin và điện cực làm việc là các điện cực nghiên cứu.

Thiết bị nhiễu xạ tia X (XRD) Siemens D500 để nghiên cứu cấu trúc của điện cực oxit.

Sử dụng các hóa chất tinh khiết để điều chế các mẫu thí nghiệm và các dung dịch nghiên cứu.

### III - KẾT QUẢ VÀ THẢO LUẬN

#### 1. Chế tạo điện cực nghiên cứu

Sử dụng phương pháp điện phân để chế tạo lớp phủ PbO<sub>2</sub> [4] trên nền titan kim loại đã được xử lý. Với các dung dịch có thành phần điện phân khác nhau sẽ thu được các dạng thù hình khác nhau của PbO<sub>2</sub> là α-PbO<sub>2</sub>, β-PbO<sub>2</sub>.

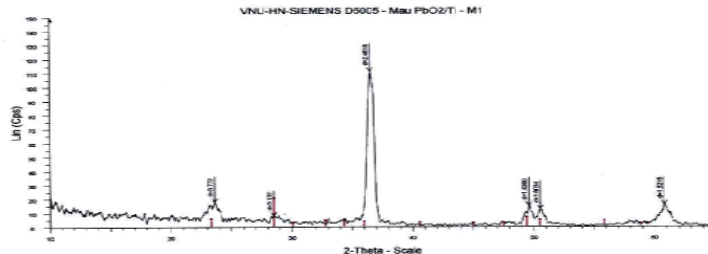
Điện cực α-PbO<sub>2</sub> được chế tạo bằng phương

pháp điện phân [5]. Dùng kim loại Ti làm vật liệu nền để chế tạo  $\alpha$ -PbO<sub>2</sub> với dung dịch điện phân là dung dịch NaOH 20% đã được bảo hoà PbO trong thời gian 10 phút với mật độ dòng là 3 mA/cm<sup>2</sup>.

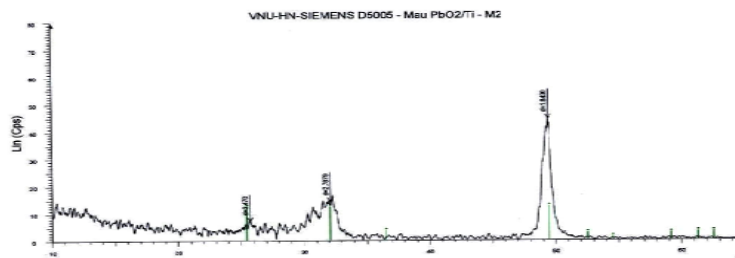
Màng  $\beta$ -PbO<sub>2</sub> được tạo ra trong dung dịch điện phân với thành phần là: Pb(NO<sub>3</sub>)<sub>2</sub> 300 g/l, Cu(NO<sub>3</sub>)<sub>2</sub> 80 g/l, Al(NO<sub>3</sub>)<sub>3</sub> 30 g/l. Điện phân với mật độ dòng là 50 mA/cm<sup>2</sup> trong 30 phút.

Bằng phương pháp điện phân trong môi trường kiềm, trong các dung dịch muối nitrat sẽ tạo ra điện cực PbO<sub>2</sub>/Ti có cả hai dạng  $\alpha$ , $\beta$ -PbO<sub>2</sub>.

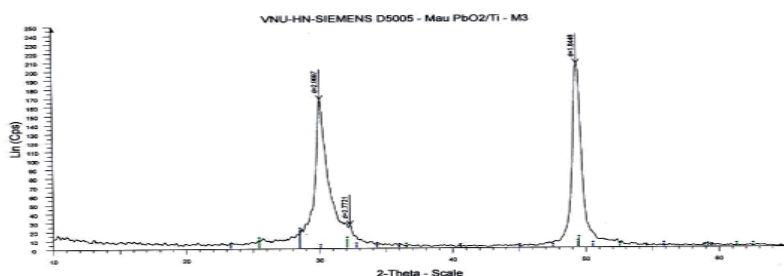
Kết quả chụp phô tia X cho thấy lớp PbO<sub>2</sub> trên nền Ti có hai dạng thù hình là  $\alpha$ -PbO<sub>2</sub> (được chế tạo trong môi trường kiềm) và  $\beta$ -PbO<sub>2</sub>/Ti (được chế tạo trong dung dịch các muối gốc nitrat) (xem các hình 1, 2 và 3).



Hình 1: Phô nhiễu xạ tia X của điện cực  $\alpha$ -PbO<sub>2</sub>/Ti



Hình 2: Phô nhiễu xạ tia X của điện cực  $\beta$ -PbO<sub>2</sub>/Ti

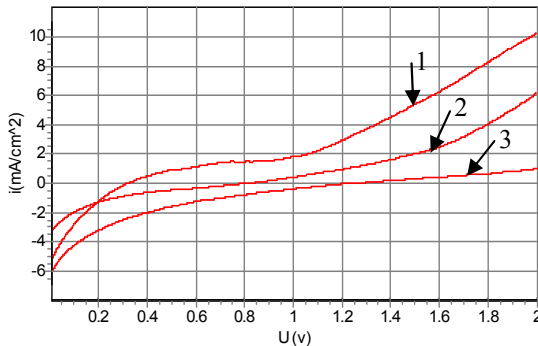


Hình 3: Phô nhiễu xạ tia X của điện cực hỗn hợp  $\alpha$ , $\beta$ -PbO<sub>2</sub>/Ti

## 2. Độ bền của các điện cực $\alpha$ -PbO<sub>2</sub>/Ti, $\beta$ -PbO<sub>2</sub>/Ti và hỗn hợp $\alpha$ , $\beta$ -PbO<sub>2</sub>/Ti trong dung dịch Na<sub>2</sub>SO<sub>4</sub>

Sự có mặt của các dạng thù hình  $\alpha$ , $\beta$ -

PbO<sub>2</sub>/Ti khác nhau làm ảnh hưởng đến độ bền của điện cực PbO<sub>2</sub>/Ti trong dung dịch chất điện li. Các kết quả thực nghiệm đo đường cong phân cực anot của các điện cực trong dung dịch Na<sub>2</sub>SO<sub>4</sub> 0,1 M cho phép so sánh độ bền của các điện cực (hình 4).



Hình 4: Đường cong phân cực của các điện cực trong  $\text{Na}_2\text{SO}_4$  0,1 M: 1.  $\alpha\text{-PbO}_2/\text{Ti}$ ,  
2.  $\beta\text{-PbO}_2/\text{Ti}$ , 3.  $\alpha,\beta\text{-PbO}_2/\text{Ti}$

Các đường cong phân cực cho thấy điện cực  $\alpha\text{-PbO}_2/\text{Ti}$  có dòng ổn định cao nhất  $4,68 \cdot 10^{-2} \text{ mA/cm}^2$ , thế ổn định là 0,32 V, đồng thời thế thoát  $\text{O}_2$  nhỏ nhất 1,05 V, quá trình thoát  $\text{O}_2$  sớm nhất. Điện cực  $\beta\text{-PbO}_2/\text{Ti}$  bền hơn với dòng ổn định là  $1,05 \cdot 10^{-2} \text{ mA/cm}^2$ , thế ổn định là 0,8 V, thế thoát oxi là 1,45 V. Đặc biệt là điện cực hỗn hợp  $\alpha,\beta\text{-PbO}_2/\text{Ti}$  bền nhất, dòng thụ động thấp nhất là  $0,8 \cdot 10^{-2} \text{ mA/cm}^2$ , thế thụ động 1,23 V và quá trình thoát  $\text{O}_2$  chậm nhất (thế thoát oxi lớn hơn 2 V). Điều đó cũng được thể hiện trong dung dịch  $\text{Na}_2\text{SO}_4$  có mặt ion  $\text{Cl}^-$ . Khi có mặt 6 g/l ion  $\text{Cl}^-$  trong dung dịch  $\text{Na}_2\text{SO}_4$ , tốc độ ăn mòn của điện cực  $\alpha\text{-PbO}_2/\text{Ti}$  là lớn nhất, màng  $\alpha\text{-PbO}_2$  bắt đầu bị phá huỷ, còn 2 điện cực  $\beta\text{-PbO}_2/\text{Ti}$  và điện cực hỗn hợp  $\alpha,\beta\text{-PbO}_2/\text{Ti}$  vẫn bền, dòng ăn mòn thấp, màng không bị phá huỷ. Khi tăng nồng độ ion  $\text{Cl}^-$  đến 12 g/l thì màng  $\beta\text{-PbO}_2$  bắt đầu bị phá huỷ, màng hỗn hợp  $\alpha,\beta\text{-PbO}_2$  vẫn bền với dòng ăn mòn thấp. Màng hỗn hợp  $\alpha,\beta\text{-PbO}_2$  bền đến nồng độ 20 g/l ion  $\text{Cl}^-$  vẫn chưa bị phá huỷ.

Như vậy, sự có mặt của màng  $\alpha\text{-PbO}_2$  trong  $\beta\text{-PbO}_2$  làm quá thế thoát  $\text{O}_2$  dịch về phía dương hơn, làm tăng độ bền của độ bền của điện cực hỗn hợp  $\alpha,\beta\text{-PbO}_2/\text{Ti}$  so với điện cực chỉ có một màng  $\beta\text{-PbO}_2$  [6]. Do đó trong quá trình điều chế điện cực  $\text{PbO}_2/\text{Ti}$ , chúng tôi chế tạo một màng mỏng  $\alpha\text{-PbO}_2$  trước khi chế tạo màng  $\beta\text{-PbO}_2$  để tăng độ bám dính và độ bền của màng

$\text{PbO}_2$  lên trên nền điện cực.

### 3. Ảnh hưởng của độ dày màng đến tính chất điện hóa của điện cực $\text{PbO}_2/\text{Ti}$

Trong điện cực  $\text{PbO}_2/\text{Ti}$ , màng  $\text{PbO}_2$  có hai thành phần  $\alpha$  và  $\beta\text{-PbO}_2$ , song  $\beta\text{-PbO}_2$  là thành phần chính có ảnh hưởng nhiều đến tính chất của điện hóa của điện cực. Vì vậy, khảo sát ảnh hưởng của độ dày màng  $\beta\text{-PbO}_2$  có ý nghĩa nhất định trong việc chế tạo điện cực.

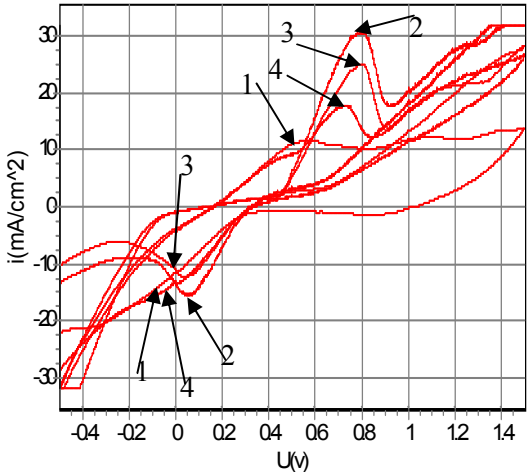
#### a) Ảnh hưởng của độ dày màng $\beta\text{-PbO}_2$ đến khả năng trao đổi electron của điện cực

Độ dày của lớp phủ  $\beta\text{-PbO}_2$  trên điện cực  $\text{PbO}_2/\text{Ti}$  có ảnh hưởng đáng kể đến khả năng trao đổi electron của phản ứng điện hóa xảy ra trên điện cực. Vì vậy sử dụng hệ oxi hóa khử của phản ứng  $[\text{Fe}(\text{CN})_6]^{3-} + 1\text{e} \leftrightarrow [\text{Fe}(\text{CN})_6]^{4-}$  (\*) để đánh giá khả năng dẫn điện của màng  $\text{PbO}_2/\text{Ti}$ . Phản ứng (\*) xảy ra trong môi trường kiềm  $\text{NaOH}$  0,1 M với nồng độ  $\text{K}_4[\text{Fe}(\text{CN})_6]$  0,1 M +  $\text{K}_3\text{Fe}(\text{CN})_6$  0,1 M.

Hệ oxi hóa khử của phản ứng (\*) là hệ oxi hóa khử lý tưởng có tính thuận nghịch cao. Nếu bề mặt của điện cực nghiên cứu có khả năng trao đổi electron với hệ oxi hóa khử theo phương trình trên thì các đường cong phân cực sẽ có tính đối xứng.

Các đường cong phân cực của các điện cực  $\beta\text{-PbO}_2/\text{Ti}$  có độ dày khác nhau trong dung dịch kali feroferi cyanua được thể hiện trên hình 5. Từ hình ta có thể xác định được mật độ dòng pic anot  $i_{pa}$  và catot  $i_{pc}$  của các điện cực.

Kết quả cho thấy khi thời gian điện phân là 30 phút, điện cực  $\text{PbO}_2/\text{Ti}$  có mật độ dòng pic lớn nhất là  $i_{pa}$  30  $\text{mA/cm}^2$ , hiệu điện thế giữa hai điện pic anot và catot của điện cực này nhỏ nhất. Còn mật độ dòng pic của các điện cực điện phân trong thời gian 15 phút, 60 phút, 90 phút lần lượt là 10, 25, 17 ( $\text{mA/cm}^2$ ). Như vậy, với thời gian điện phân là 30 phút, điện cực  $\text{PbO}_2/\text{Ti}$  có khả năng trao đổi electron lớn nhất và điện trở bề mặt nhỏ nhất. Còn khi thời gian điện phân lớn quá hoặc nhỏ quá đều làm khả năng trao đổi electron của điện cực giảm, hoạt động điện hóa kém.



Hình 5: Đường cong phân cực của các điện cực trong dung dịch kali feroferi cyanua theo thời gian điện phân 1. 15 phút, 2. 30 phút, 3. 60 phút, 4. 90 phút

#### b) Ảnh hưởng độ dày màng đến độ bền của điện

Độ dày màng  $\text{PbO}_2$  không chỉ ảnh hưởng đến khả năng trao đổi electron của điện cực  $\text{PbO}_2/\text{Ti}$  mà còn ảnh hưởng đến độ bền của điện cực. Điều đó được thể hiện ở các giá trị dòng ăn mòn và thế phân huỷ của điện cực thu được khi đo đường cong phân cực của các điện cực với thời gian điện phân khác nhau trong dung dịch  $\text{NaCl}$  5 g/l (bảng 1).

Bảng 1: Dòng, thế ổn định ( $i_{od}$ ,  $\Psi_{od}$ ) và thế phân huỷ ( $\Psi_{ph}$ ) của các điện cực trong dung dịch  $\text{NaCl}$  5 g/l

Thời gian, phút	$i_{od}$ mA/cm <sup>2</sup>	$\Psi_{od}$ , V	$\Psi_{ph}$ , V
30	$2,15 \cdot 10^{-3}$	0,50	2,5
60	$2,64 \cdot 10^{-3}$	0,62	2,5
90	$18,4 \cdot 10^{-3}$	0,71	2,0
15	$52,4 \cdot 10^{-3}$	0,49	1,75

Từ các số liệu trong bảng 1 cho thấy, điện cực  $\text{PbO}_2/\text{Ti}$  có độ dày ứng với thời gian điện phân 30 và 60 phút có độ bền hoà tan anot cao so với điện cực được điện phân trong thời gian 15 và 90 phút. Để giải thích hiện tượng này có thể giả thiết rằng với độ dày ứng với thời gian

15 phút điện phân lớp màng  $\text{PbO}_2$  chưa phủ kín bề mặt điện cực, song với độ dày màng lớn (ứng với 90 phút điện phân) tuy bề mặt có độ dày cao song lớp phủ  $\text{PbO}_2$  bị biến dạng làm giảm độ bám dính với vật liệu nền.

#### 4. Ảnh hưởng của vật liệu nền đến độ bền của điện cực $\text{PbO}_2/\text{Ti}$

Màng  $\text{PbO}_2$  đã được chế tạo trên các nền khác nhau: graphit cacbon, Ti kim loại và Ti có phủ  $\text{SnO}_2$ , sau đó tiến hành đo đường cong phân cực của chúng trong các môi trường chất điện li khác nhau và so sánh độ bền hoà tan anot của chúng trong các môi trường khảo sát.

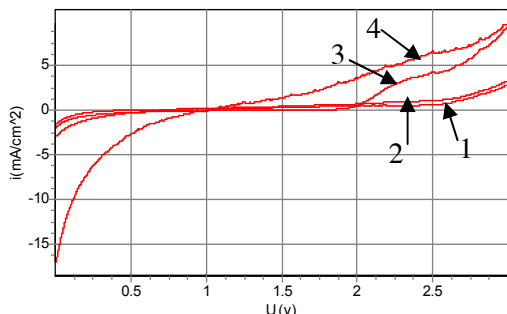
Trên hình 6 biểu diễn các đường cong phân cực của các điện cực  $\text{PbO}_2$  trên các nền vật liệu khác nhau trong dung dịch  $\text{NaCl}$  5 g/l, từ đó rút ra các thông số điện hóa được trình bày trên bảng 2.

Các đường cong phân cực cho thấy điện cực  $\text{PbO}_2/\text{C}$  bị hoà tan anot lớn nhất. Điện cực  $\text{PbO}_2/\text{Ti}$  và  $\text{PbO}_2\text{-}\text{SnO}_2/\text{Ti}$  có độ bền cao, vùng thu động kéo dài ( $0,8 \text{ V} \rightarrow 2,5 \text{ V}$ ). Trong dung dịch  $\text{NaCl}$  35 g/l, độ bền của điện cực  $\text{PbO}_2/\text{C}$  thấp, điện cực  $\text{PbO}_2\text{-}\text{SnO}_2/\text{Ti}$  có độ bền cao nhất với vùng thu động kéo dài và thoát clo dịch về phía dương nhất.

Bảng 2: Dòng ổn định ( $i_{od}$ ), thế ổn định ( $\Psi_{od}$ ), thế phân huỷ ( $\Psi_{ph}$ ) của các điện cực trong dung dịch  $\text{NaCl}$  5 g/l

Điện cực	$i_{od}$ , mA/cm <sup>2</sup>	$\Psi_{âm}$ , V	$\Psi_{ph}$ , V
Pt	$1,51 \cdot 10^{-3}$	1,18	1,85
$\text{PbO}_2\text{-}\text{SnO}_2/\text{Ti}$	$2,35 \cdot 10^{-3}$	0,79	2,6
$\text{PbO}_2/\text{Ti}$	$4,27 \cdot 10^{-3}$	0,48	2,5
$\text{PbO}_2/\text{C}$	$10,9 \cdot 10^{-3}$	0,99	1,4

Một cách tương tự tiến hành đo đường cong phân cực anot của các điện cực nghiên cứu trong dung dịch  $\text{Na}_2\text{SO}_4$  0,1 M và  $\text{Na}_3\text{PO}_4$  0,5 M. Kết quả được trình bày trên hình 7. Trong hai môi trường  $\text{Na}_2\text{SO}_4$  0,1 M và  $\text{Na}_3\text{PO}_4$  0,5 M độ bền hoà tan anot của điện cực  $\text{PbO}_2/\text{C}$  thấp nhất, và tương tự trong dung dịch  $\text{NaCl}$  đã khảo sát, các



Hình 6: Đường cong phân cực của các điện cực trong dung dịch NaCl 5 g/l: 1. PbO<sub>2</sub>.SnO<sub>2</sub>/Ti, 2. PbO<sub>2</sub>/Ti, 3. Pt 4.PbO<sub>2</sub>/C

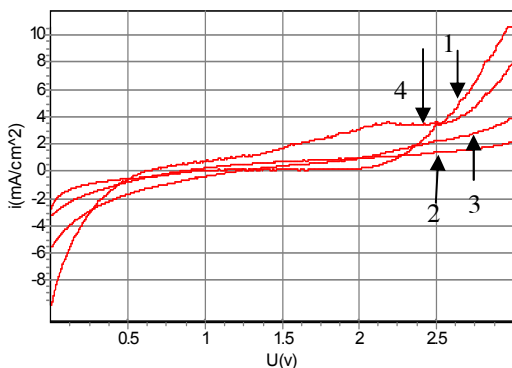
điện cực PbO<sub>2</sub>/Ti và PbO<sub>2</sub>.SnO<sub>2</sub>/Ti có độ bền hoà tan anot cao, trong đó sự có mặt của SnO<sub>2</sub>

đã làm cho độ bền hoà tan anot của PbO<sub>2</sub> tăng lên đáng kể.

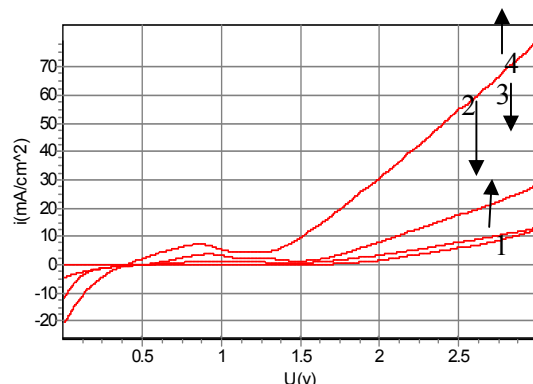
#### IV - KẾT LUẬN

1. Điện cực PbO<sub>2</sub> được chế tạo bằng phương pháp điện phân bao gồm hai lớp α- và β-PbO<sub>2</sub> có độ bền cao hơn điện cực chỉ có một lớp β-PbO<sub>2</sub>. Với thời gian điện phân là 30 phút, điện cực PbO<sub>2</sub> có khả năng trao đổi electron đối với hệ oxi hóa khử đã khảo sát và độ bền hoà tan anot của nó trong dung dịch NaCl cao nhất.

2. Điện cực PbO<sub>2</sub> chế tạo trên nền Ti có phủ màng mỏng SnO<sub>2</sub> có độ bền hoà tan anot trong các dung dịch NaCl, Na<sub>2</sub>SO<sub>4</sub> và Na<sub>3</sub>PO<sub>4</sub> cao hơn các điện cực nghiên cứu khác.



Hình 7: Đường cong phân cực của các điện cực trong dung dịch Na<sub>2</sub>SO<sub>4</sub> 0,1 M (a) và Na<sub>3</sub>PO<sub>4</sub> 0,5 M (b). 1. Pt, 2. PbO<sub>2</sub>.SnO<sub>2</sub>/Ti, 3. PbO<sub>2</sub>/Ti, 4. PbO<sub>2</sub>/C



(b)

#### TÀI LIỆU THAM KHẢO

- Trịnh Xuân Sén, Nguyễn Văn Tú. Tuyển tập các báo cáo toàn văn hội nghị toàn quốc lần thứ 7, tr 126 - 129 (2003).
- J. Gonzalez-Garcia, F. Gallud, J. Iniesta, V. Montiel, A. Aldaz, A. Lasia. J. Electrochemical Society, Vol. 147, Iss. 8, P. 2569 - 2974 (2000).
- D. Devilleiers, M. T. Dinh Thi, V. Dauriac and N. Lequeux. Journal of Electroanal. Chem., Vol. 573, Iss. 2, P. 227 - 239 (2004).
- Alexey A. Vertegel, W. Bohanna. J. Electrochemical Society, Vol. 148, Iss. 4, C.253 - C.256 (2001).
- Ten-ChinWen and Chia-Chin Chang. J. Electrochemical Society, Vol. 110, Iss. 10 (1993).